

## بررسی تجربی و نظری کار الکترومتر ترمومیونی در حالت شبکه شناور\*

عما الدین فقاہتی

استادیار گروه فیزیک، دانشکده علوم، دانشگاه تهران

### چکیده:

کاربرد الکترومتر ترمومیونی بحالت شبکه شناور از راه تجربی و نظری مورد بررسی و تحلیل قرار گرفته است. نشان داده شده است که اگر مشخصات لامپ بویژه از نظر عایق بندی خوب باشد، می توان با اعمال دقتهای مداری لازم جریان منفی شبکه آنرا ثابت نمود و به حساسیت فوق العاده زیاد برای سنجش جریان های الکتریکی بسیار کوچک دست یافت. براین پایه یک نمونه دستگاه آزمایشی ساخته شده است که حد حساسیت آن به  $10^{-17} \times 10^{-2}$  آمپر می دسد، بطوریکه مثلاً "سنجش جریان بونیزا سیون طبیعی معمولی در یک لیتر هوا در فشار متعارف بادقتی نسبتاً خوب با آن عملی است.

### مقدمه:

روش متداول کنونی برای سنجش جریان های الکتریکی فوق العاده کوچک چنین است که جریان قبلاً "بوسیله عناصر تقویت ویژه ای که مقاومت ورودی بسیار بزرگ دارند تقویت شده" ، سپس در دستگاه سنجش فرستاده می شود. دو نوع عنصر تقویت مناسب برای این منظور در دسترس است: ترانزیستور های اثر میدان از نوع موس و لامپ های الکترومتر ترمومیونی. اولی در حدود پانزده سالی است که تکامل یافته ولی قدمت دومی بیشتر است. عمل تقویت اعلب بهیکی از دوراه صورت می گیرد:

- ۱ - جریان سنجیدنی از یک مقاومت الکتریکی بزرگ، که گاهی به  $10^{-12}$  اهم می رسد می گذرد و اختلاف پتانسیل حاصل ابتدا توسط یکی از عناصر یاد شده وسیله، در صورت لزوم، در مراحل بعدی تقویت می شود.
- ۲ - از یک تقویت کننده عملیاتی که در ورودی آن عنصر مناسب و در مدار فیدبک آن مقاومتی بزرگ قرار دارد استفاده می شود. بررسی ها نشان داده است که مقاومت های بزرگتر از  $10^{-12}$  اهم پایداری و دقت ندارند و از این رو چندان بکار نمی روند. با ترتیب های یاد شده در بالا سنجش جریان الکتریکی تا حدود  $10^{-15}$  آمپر ( $10^{-15}$ ) و بندرت پائین تر ( $2 \times 10^{-15}$ ) میسر می گردد.

---

\* این کار در مؤسسه علوم و فنون هسته ای سابق دانشگاه تهران انجام گرفته است.

بکاربردن الکترومتر ترمومیونی بصورت عنصر تقویت جریان ( نه تقویت و لت ) نیز عملی است . بدین ترتیب که مقاومت خارجی در ورودی آن قرار ندهیم ، یعنی شبکه را بحال شناور نگهداشیم . در این حال شبکه در یک پتانسیل تعادل قرار می‌گیرد و جریان معینی از آند می‌گذرد . برقراری چنین تعادل بهسبب وجود دو جریان در دوسوی مخالف در شبکه است : نخست جریان مثبت ناشی از نشستن برخی از الکترون‌های بیرون آمده از رشته بروی شبکه . دوم جریان منفی شبکه که از عوامل زیسر بعنوان مهم ترین منشاء‌های آن نام بوده می‌شود :

۱ - جریان نشستی از الکترودهای دیگر به شبکه .

۲ - اثر فتوالکتریک بروی شبکه توسط فوتون‌های حاصل از افروزش رشته یا نور بیرونی .

۳ - اثر ترمومیونی در شبکه .

۴ - هدایت الکتریکی توسط بیون‌های گازی در فضای لامپ .

ورود جریان خارجی در شبکه شناور سبب تغییری در پتانسیل تعادل آن و درنتیجه تغییری در جریان آند می‌شود که نسبت به جریان ورودی حالت لگاریتمی دارد ( ۳ و ۴ ) . بنابرآنچه از منابع و کاربردها می‌آید تاکنون این ویژگی الکترومتر ترمومیونی تنها در شرایطی که جریان خارجی مثبت و حداقل چندین برابر جریان منفی شبکه باشد ، مورد استفاده قرار گرفته است ( ۳ و ۴ ) ، احتمالاً " بدین سبب که جریان منفی تا حدودی نامشخص و ناپایدار بمنظور رسیده است .

یک مشکل اساسی در روش‌های بالا ناپایداری نقطه صفر است بویژه هنگامی که بهره تقویت بالا است .

برای پرهیز از این اشکال گاهی از الکترومتر با تیغه لرزان استفاده می‌شود . ناحیه کار مفید چنین دستگاه نیز به حدود ۱۵ - ۱۰ آمپر می‌رسد .

یک نوع الکترومتر بسیار حساس نیزگزارش شده است ( ۶ ) ، که اساس آن برلزش یک رشته کوارتز میان دو الکترودی است که پتانسیل‌های متناوب در فاز مخالف برآنها اعمال می‌شود . پتانسیل سنجیدنی به رشته کوارتز می‌رسد و دامنه لرزش آن در یک ریزبین مشاهده و سنجیده می‌شود . حساسیت چنین دستگاه برابر الکتریکی بر طبق گزارش تا حدود ۱۶ - ۱۵ کولن می‌رسد . این دستگاه چون ذاتاً " انتگرالی است برای سنجش باری که در مدتی گردآوری شده است بکار می‌خورد ولی برای بررسی تغییرات یک جریان مناسب نیست .

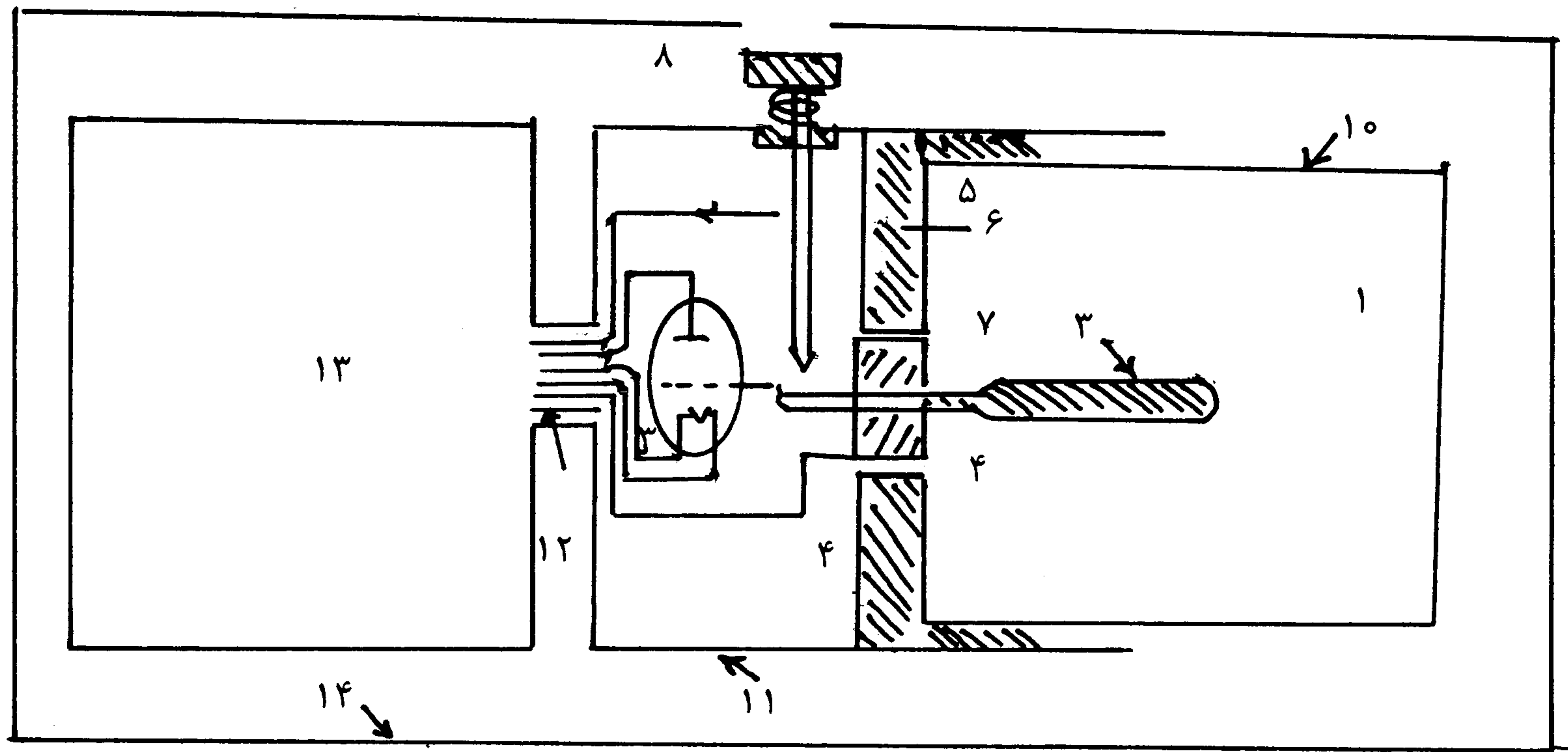
ما در ضمن آزمایش‌هایی که درباره سنجش بیونیزاسیون در گازهای صورت می‌گرفت ، به این نکته بخوردیم که با شناخت بهتر ویژگی‌های الکترومتر ترمومیونی در حالت شبکه شناور احتمالاً می‌توان حدود دقت و حساسیت را از آنچه که دستگاه‌های معمولی نشان می‌دهند بالاتر بود . با این هدف بررسی‌هایی صورت گرفت که نتیجه آنها در اینجا ارائه می‌شود .

## ۲- بررسی تجربی ویژگی‌های الکترومتر ترمومیونی در حالت شبکه شناور :

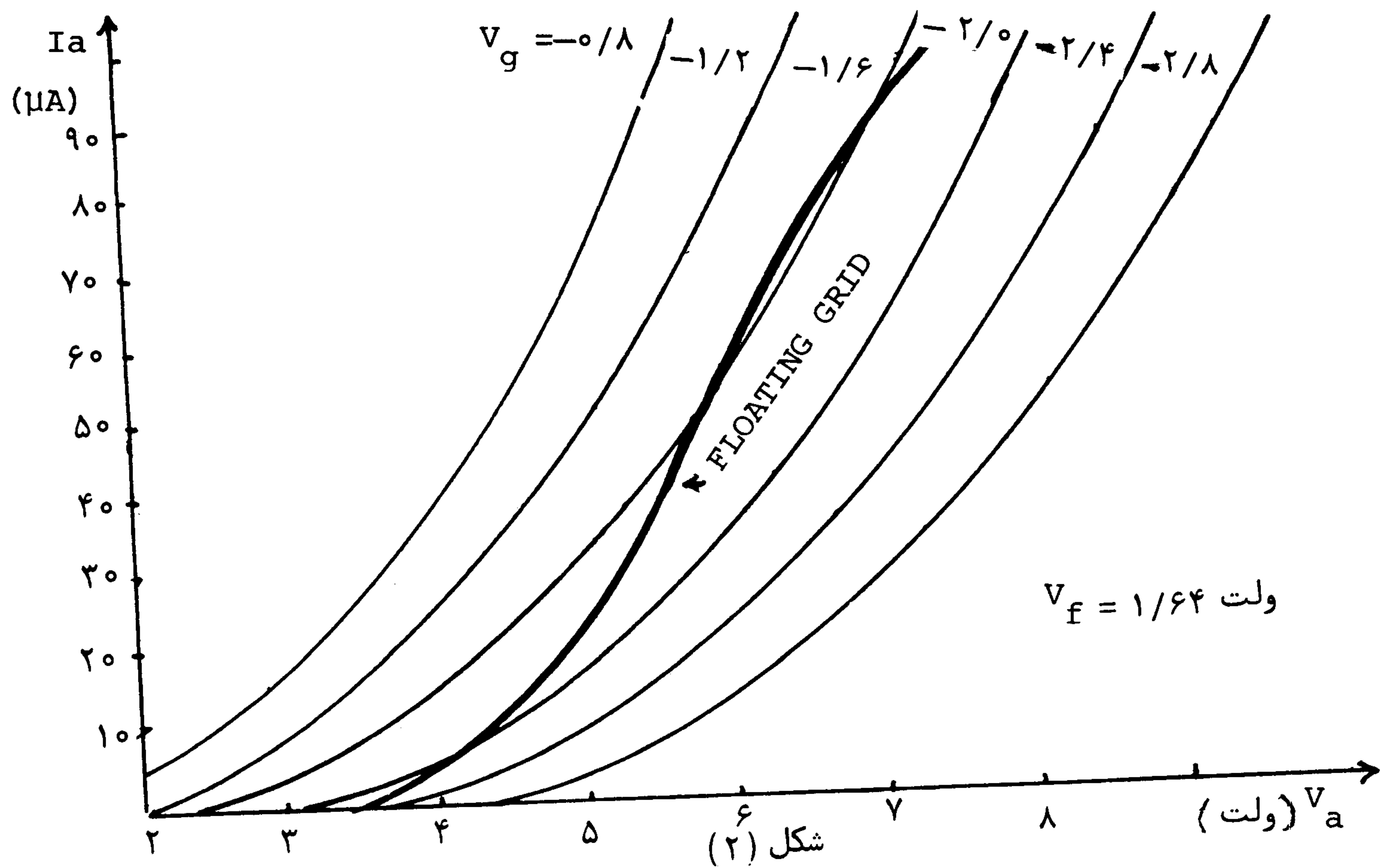
لامپ‌های الکترومتر ME 1401 ۸۶-A VX ساخت ویکتورین ساخت مولارد مورد بررسی قرار گرفتند . لامپ نوع اخیر جریان نشستی کوچکتری نشان داد و از اینرو همه آزمایش‌هایی که در اینجا به آنها اشاره می‌شود با این مدل لامپ انجام گرفته است .

شمای دستگاهی که برای آزمایش‌های لازم طرح و ساخته شد در شکل ( ۱ ) دیده می‌شود ، گرچه در عمل یک لامپ الکترومتر دیگر نیز ، برای منظوری که بعداً خواهد آمد ، به آن افزوده شد که در این شما نیامده است . استفاده از محفظه بیونیزاسیون در این دستگاه بمنظور امکان ایجاد جریان‌های معین بسیار کوچک در آن توسط یک چشمۀ رادیو اکتیو است .

در نخستین آزمایش‌های بدین نتیجه رسیدیم که برای هدف مورد نظر نه تنها پتانسیل میان آندوکاتر الکترومتر باید دقیقاً ثابت باشد ، بلکه جریان رشته آن نیز باید بدقت تثبیت شود ، در حالیکه هردو قابل تنظیم باشند .

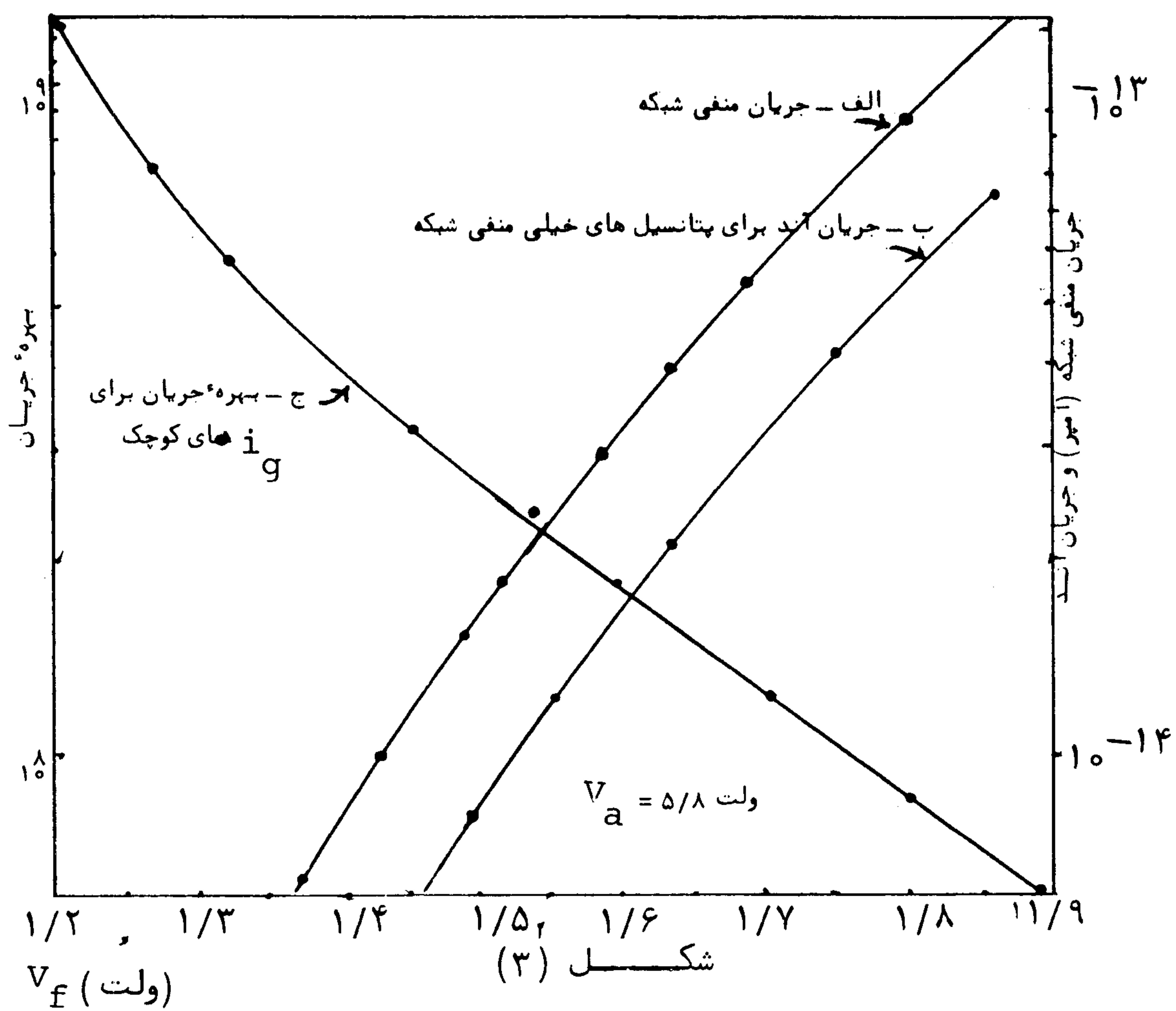


شکل (۱)



منحنی های مشخصه لامپ در حالت شبکه شناور برای چند ولتاژ مختلف میان دو سر رشته بیاری دستگاه ساخته شده تعیین شد که یک نمونه از آن در شکل (۲) دیده می شود. در این شکل تغییر پتانسیل تعادل شبکه بر حسب اختلاف پتانسیل آند - کاتد، جالب توجه است و ظاهر "توجیه آن چنین است: وقتی که اختلاف پتانسیل آند - کاتد کوچک است توانایی آند برای جذب الکترون ها کم است و درنتیجه تعداد نسبتاً زیادی از الکترون ها روی شبکه می نشینند و آنرا در پتانسیل پائین نگه می دارند. با افزایش پتانسیل آند کشن الکترون ها بسوی آن بیشتر می شود و تعداد کمتری روی شبکه می نشینند و پتانسیل آن بالا می رود. کاهش دوباره پتانسیل تعادل شبکه وقتی که پتانسیل آند خیلی بالاتر می رود به سبب نزدیک شدن بار فضای دور رشته به شبکه و غوطه ور شدن شبکه در قسمت مترافق آن است.

مرحله بعدی کار عیلارت بود از بررسی جریان منفی شبکه و شرکت عوامل گوناگون در آن و رابطه آن با جریان رشته وغیره . برای سنجش جریان منفی شبکه ، پس از تعیین ظرفیت میان الکترود مرکزی محفظه یونیزاسیون و بدنه دستگاه ، از زمان شارژ شدن این ظرفیت توسط جریان منفی استفاده شد . بدین ترتیب که الکترود ( شماره ۳ در شکل ۱ ) توسط سوزن ( ۹ ) به پتانسیل های منفی معینی نسبت به کاتد بوده می شد و زمان شارژ شدن ظرفیت تا هنگامی که لامپ آغاز هدایت کرده و به شدت جریان معینی برسد ، اندازه گیری می شد و اختلاف زمان ها مورد استفاده قرار می گرفت . نخستین نتایج چنین بود : در ناحیه آزمایش ( پتانسیل شبکه از حدود ۲۰۰ ولت و پتانسیل آند از ۳۰۰ تا ۴۰۰ ولت ) جریان منفی شبکه در حدود دقت سنجش ها مستقل از پتانسیل منفی آن و پتانسیل آند بود ، ولی بشدت تابع جریان رشته یا دمای آن بود و تقریباً " بطور نمائی با آن تغییر می کرد . منحنی الف شکل ( ۳ ) این مطلب را نشان می دهد . در یک آزمایش جنبی که روی یک لامپ دوقطبی انجام گرفت تغییرات توان نورانی لامپ بحسب جریان رشته رفتار مشابهی داد که البته از راه تئوری نیز این مطلب قابل توجیه است . از اینرو بنظر رسید که اثر فتو الکتریک



باید نقش عده را در جریان منفی شبکه داشته باشد . لازم به توضیح است که سنجش توان تشعشعی رشته الکترومتر مستقیماً " عملی نبود .

برای بررسی سهم عامل نشت در جریان منفی کافی بود که رشته را در ضمن یک آزمایش برای مدتی ( عملاً ۱۵ دقیقه ) خاموش کرده و دوباره روشن کنیم و تغییر مان شارژ الکترود ( ۳ ) را سنجیم . از اینرو سهم جریان های نشتی در شرایط آزمایش کمتر از ۳ درصد بدست آمد که در حدود بیراهی سنجش ها است .

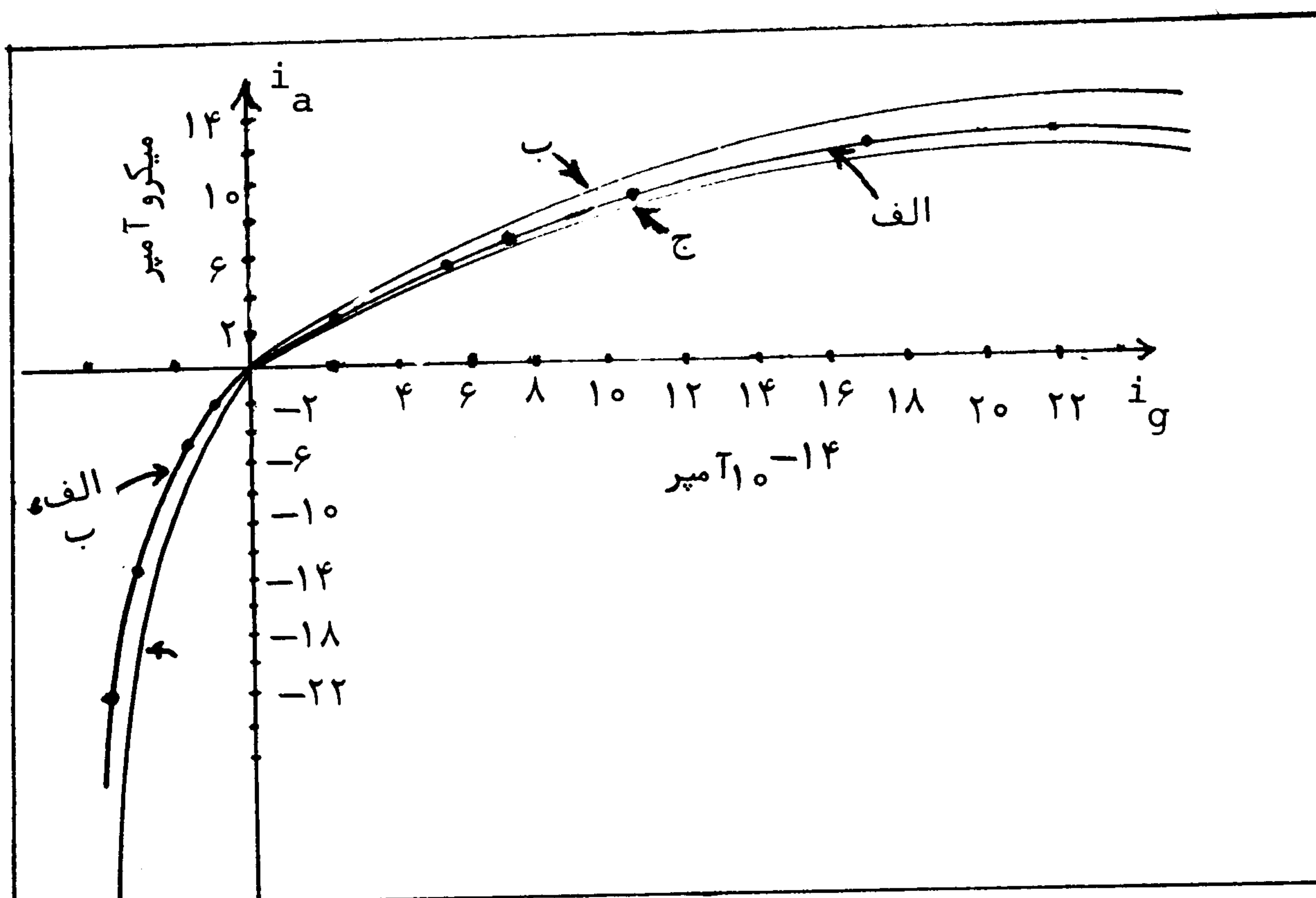
آزمایش نشان داد که اثر ترمومیوئی مربوط به گرم شدن شبکه نیز باید ناچیز باشد ، زیرا روشن ماندن لامپ به مدت مثلاً " نیم ساعت برای گرم شدن شبکه افزایشی در جریان منفی آن بوجود نیاورد .

اثر لوز خارجی بررسی شد . این اثر وجود داشت ولی چون معمولاً " الکترومتر در محفظه سربسته قرار داشت اشکالی از این لحاظ در کار نبود .

دانستن این نکته که الکترون‌های کند شده از شبکه به آند می‌روند یا به کاتد نیز سودمند بنظر رسد. برای این منظور لازم بود که جریان آند رادر شرایطی که شبکه خیلی منفی باشد و عمل "الکترونی از رشته به شبکه" یا آند نرسد، بسنجیم این عمل توسط الکترون‌مترد یگری که قبل از پیش‌بینی شده در دستگاه نصب شده بود انجام گرفت. نتیجه جالب بود: آند نیمی از جریان منفی یا آند کی بیشتر از نیم آنرا می‌برد. منحنی ب شکل ۳ آنرا نشان می‌دهد. از مجموع بررسی‌ها چنین نتیجه شد که اثر فوتوالکتریک حاصل از افزایش رشته عمل "تنها عامل موثر در جریان منفی شبکه است، بشرط آنکه لامپ خوب ساخته شده باشد و بدقت بکار رود. اثر یاد شده در این مورد لزوماً "بمعنی کند شدن الکترون از شبکه مستقیماً" توسط فوتون نیست، زیرا فوتون‌ها از طرف کاتد می‌تابند در حالیکه انتقال الکترون‌ها از شبکه تقریباً "بطوریکسان" بسوی آندوکاتد صورت می‌گیرد. عمل را می‌توان چنین توجیه کرد: الکترون‌های در شبکه با جذب انرژی فوتون‌ها به ترازهای بالا در نوار رسانایی می‌روند و سپس برای تعداد کمی از آنها در لحظات مناسب خروج از شبکه، همانند گسل ترمیونی، رخ می‌دهد.

باتوجه به مشاهدات یاد شده، بحای آنکه جریان منفی شبکه را یک عامل مزاحم بدانیم، بنظر می‌رسد که می‌توان آنرا با تثبیت شرایط ثابت کرده و بعنوان یک عامل سودمند از آن بهره‌گیری نماییم. در عمل برای این منظور از دیودهای سیلیسیم که منحنی مشخصه آنها ناحیه‌ای با شیب خیلی تند داشت استفاده شد که موازی با رشته لامپ قرار داده می‌شدند.

بهره‌جایان - شکل (۴) نتیجه سنجش تغییرات جریان آند را بر حسب جریان شبکه در شرایطی که در همان شکل قید شده است، نشان می‌دهد. چنانکه دیده می‌شود اگر جریان خارجی منفی باشد، حدی (در حدود  $-14$  تا  $-15$  میکروآمپر) برای آن وجود دارد که در آن حد جریان خارجی جریان منفی شبکه را بکلی خنثی می‌کند. در اینحال الکترون‌هایی که از رشته روی شبکه می‌نشینند پتانسیل آنرا آنقدر پائین می‌برند که لامپ بحال قطع درمی‌آید. طبیعی است که حد یاد شده بستگی به دمای رشته دارد.



شکل (۴)

نکته قابل توجه دیگر این است که با کاهش جریان، بهره‌جایان بگونه‌ای شبکه‌نمایی افزایش می‌یابد (منحنی ج، شکل ۳)، البته زمان رسیدن به تعادل نیز درازتر می‌شود، مثلًا "برای بهره  $-15 \times 10^{-6}$  میکروآمپر" به دهه‌هادقیقه می‌رسد. البته زمان یاد شده به ظرفیت ورودی بستگی دارد. توجیه این مطلب‌ها در تحلیل نظری خواهد آمد.

### ۳- تحلیل نظری:

هدف تعیین رابطه میان پتانسیل و جریان شبکه و جریان آنداست. ابتدا به محاسبه جریان شبکه می پردازیم:

جریان ترمیونی از واحد سطح رشتہ لامپ با فرمول معروف ریچاردسون - داشمن بیان می شود.

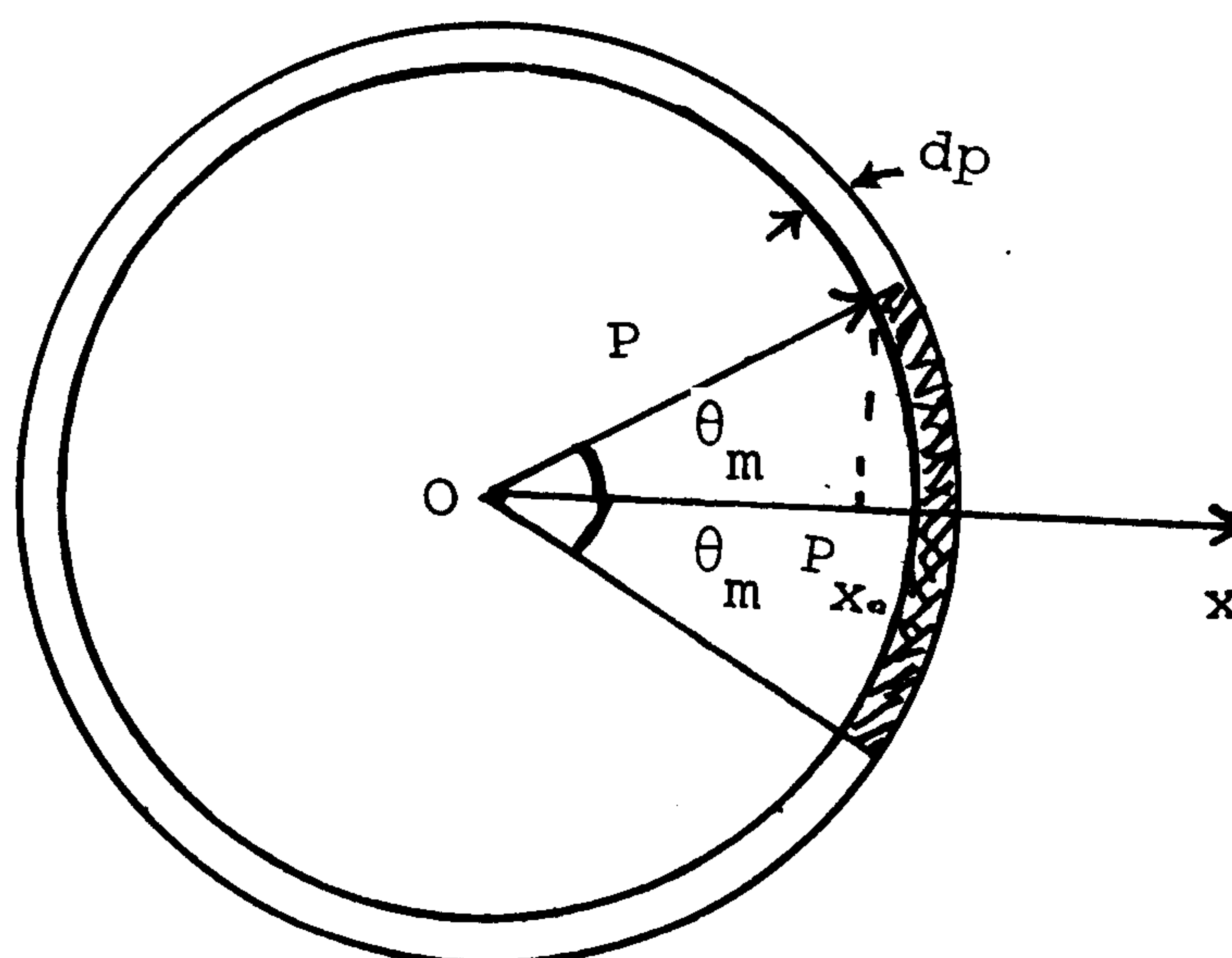
$$I_s = A(1-r)T^2 \exp\left(-\frac{E_w}{kT}\right) \quad (1)$$

که در آن  $T$  دمای مطلق رشتہ،  $E_w$  تابع کار،  $k$  ضریب بولتزمن،  $r$  احتمال بازگشت الکترون از سطح بداخل،  $A$  ضریب فرمول و  $I_s$  چگالی جریان است. از الکترون‌هایی که این جریان را تشکیل می‌دهند برای آنهایی احتمال رسیدن به شبکه وجود دارد که انرژی لازم را برای گذشتن از پتانسیل دافعه آن داشته باشند. مسئله را می‌توان چنین طرح کرد: از الکترون‌های آزاد رشتہ، گرم برای آنهایی احتمال بیرون آمدن و رسیدن به شبکه وجود دارد که او لا "همه عمودی اندازه حرکت آنها بزرگتر از مقدار معین  $P_{x_0}$ " بوده (چنانکه در محاسبه فرمول ریچاردسون + داشمن نیز آمد است) و ثانیاً "انرژی آنها بزرگتر از مقدار معین  $E_1 = E_s - qV_g$ "، یا اندازه حرکت کلی آنها بزرگتر از  $P = \sqrt{2mE_1}$  باشد، که در این رابطه‌ها  $V_g$  پتانسیل شبکه،  $q$  بار بینیادی و  $E_s$  مجموع انرژی فرمی و تابع کار و  $m$  جرم الکترون است. از ترازهای الکترونی آنهایی که اندازه حرکت مربوط به آنها میان  $P$  و  $P+dp$  بوده و ضمناً "همه عمود بر سطح بردار اندازه حرکت بزرگتر از  $P_{x_0}$ " است قسمتی از یک قشرکروی به کلفتی  $dp$  را در فضای اندازه حرکت‌ها اشغال می‌کنند که در شکل (۵) بصورت جزء‌ها شور زده دیده می‌شود. این قسمت توسط مخروطی که نیمه‌زاویه راس آن  $\theta_m = \text{Arc cos}(\frac{P_{x_0}}{P})$  است معین می‌شود.

احتمال وجود یک الکtron در ترازی یا احتمال فرمی - دیراک را در شرایط مسئله مانند ترازهای نسبتاً بالا موردنظر است می‌توان بصورت ساده شده  $\exp[(E_F - E)/RT]$  نوشت. در این شرایط و با توجه به اینکه طبق نظریه الکترونی فلزات چگالی ترازها در فضای اندازه حرکت‌ها در واحد حجم فضای عادی برابر با  $(2/h)^3$  است، شماره الکترون‌هایی که در واحد زمان از واحد سطح رشتہ و از جزء حجم مورد نظر در فضای اندازه حرکت‌ها بیرون می‌آیند چنین بدست می‌آید:

$$dN = \frac{4\pi}{mh^3} P^3 \exp[(E_F - E)/kT] dP \int_{-\theta_m}^{\theta_m} \sin\theta \cdot \cos\theta \cdot d\theta \approx \quad (3)$$

$$\frac{2\pi}{mh^3} P(P^2 - P_{x_0}^2) \exp[(E_F - E)/kT] dp$$



شکل (۵)

یا اگر آنرا برحسب  $E$  بنویسیم :

$$dN = \frac{4\pi m}{h^3} (E - E_S) \exp [-(E_F - E)/kT] \quad (3)$$

برای هر الکترونی که به شبکه‌ی دسد احتمال  $\alpha$  وجود دارد که روی شبکه بنشیند. میزان  $\alpha$  تابع انرژی الکترون به شکل مذکور است. می‌توان نشان داد که اگر توزیع سوی حرکت الکترون‌ها نسبت به سطح شبکه برای همه انرژی‌ها به یک شکل باشد و نیز  $dN$  تابع نمائی نزولی از  $E$  باشد، میانگین  $\alpha$  برای همه الکترون‌ها از یک انرژی آستانه  $E_1$  تا  $\infty$  تابع  $E_1$  نخواهد بود. در مسئله مارکوفی اول رابطه تقریب می‌پذیریم شرط دوم نیز چنانکه رابطه (۲) نشان می‌دهد بطور تقریب وجود دارد. پس با تقریب مستقل بودن از  $E_1$  و با توجه به اینکه  $E_1 = E_S - qV_g$  است، تعداد کل الکترون‌هایی که در واحد زمان از واحد سطح رشتہ به شبکه منتقل می‌شوند را معرف جریان خارجی شبکه باضافه جریان منفی آن می‌باشد چنین محاسبه می‌شود:

$$N = \frac{4\pi m \bar{\alpha}}{h^3} \int_{E_1}^{\infty} (E - E_S) \exp [-(E_F - E)/kT] dE \approx B k T g V_g \exp (qV_g/kT) \quad (4)$$

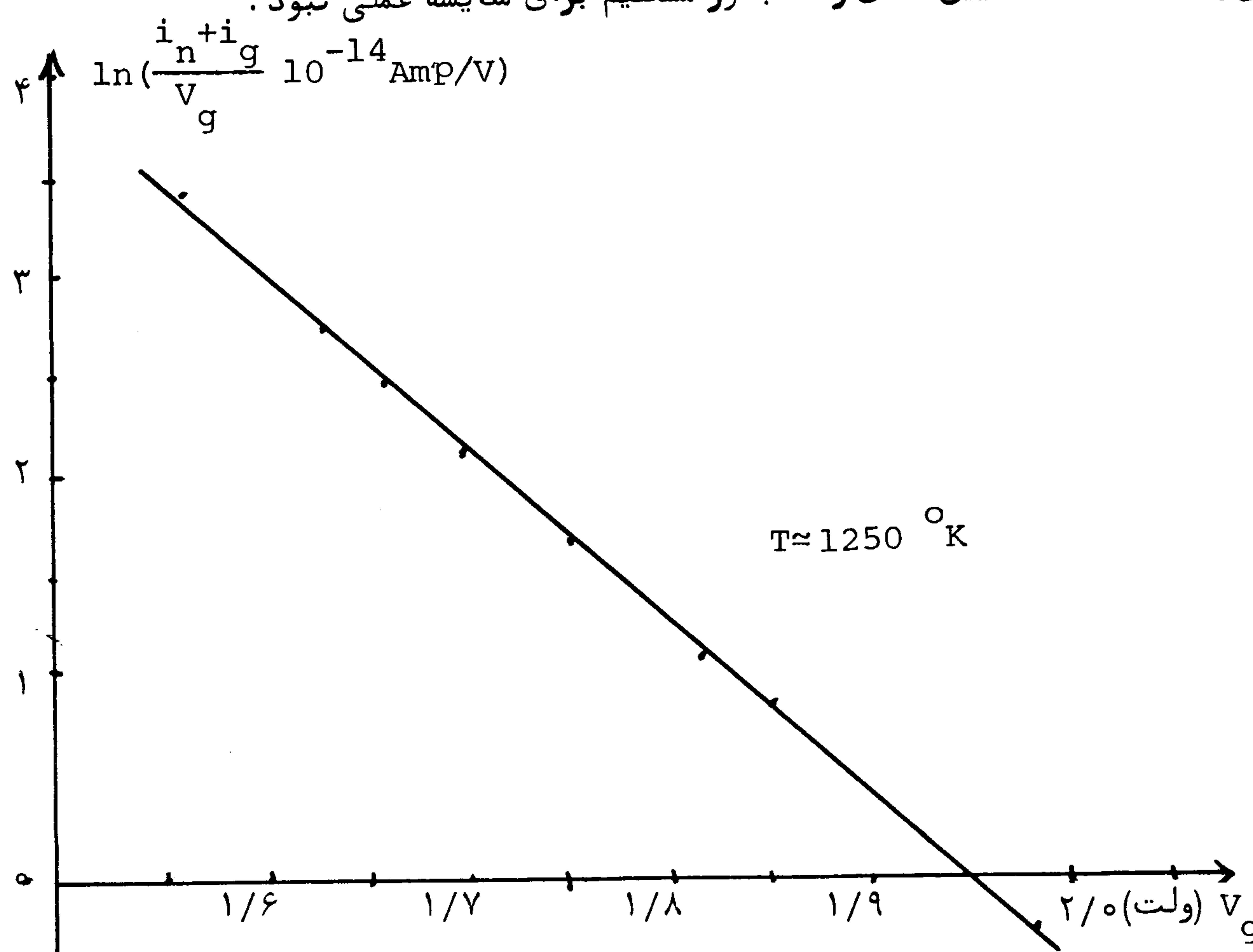
که در آن

$$B = -\frac{4\pi m \bar{\alpha}}{h^3} \exp [-(E_F - E_S)/kT] \quad (5)$$

لازم به یاد آوری است که در این رابطه‌ها احتمال عدم بازتاب الکترون‌ها از سطح رشتہ بداخل منظور نشده است. برای دخالت دادن آن کافی است که آنها را ( $r - 1$ ) ضرب کنیم. جریان خارجی شبکه را برحسب  $V_g$  در دمای معین  $T$  می‌توان چنین نوشت:

$$I_g + I_n = C V_g \exp (qV_g/kT) - I_n \quad (6)$$

که در آن  $C$  ضریبی ثابت و  $I_n$  مقدار جریان منفی است. بنابراین رابطه اگر  $(I_n / V_g)^{1/n}$  را در یک دمای معین رشتہ برحسب  $V_g$  رسم کنیم باید خط راستی بددست آید. نتایج یک سری اندازه‌گیری در شکل (۶) دیده می‌شود که نشان می‌دهد فرض ثابت بودن  $\alpha$  در حدود دقت این سنجش‌ها منطقی است. از شیب منحنی مقدار  $kT$  در حدود  $108^\circ\text{C}$  الکترون ولت و  $T$  در شرایط آزمایش  $K 1250$  بدست می‌آید که نیز منطقی بنظر می‌رسد. متساقانه تعیین دمای رشتہ بطور مستقیم برای مقایسه عملی نبود.



شکل (۶)

از رابطه (۶) وقتی  $v = 0$  باشد نتیجه می‌شود که:

$$I_g = I_n \left[ \frac{V_g}{V_{g_0}} \exp \left( \frac{q \Delta V_g}{kT} - 1 \right) \right] \quad (7)$$

واز آنجا با قراردادن  $\Delta V_g = V_g - V_{g_0}$  بجای  $V_g$  چنین داریم:

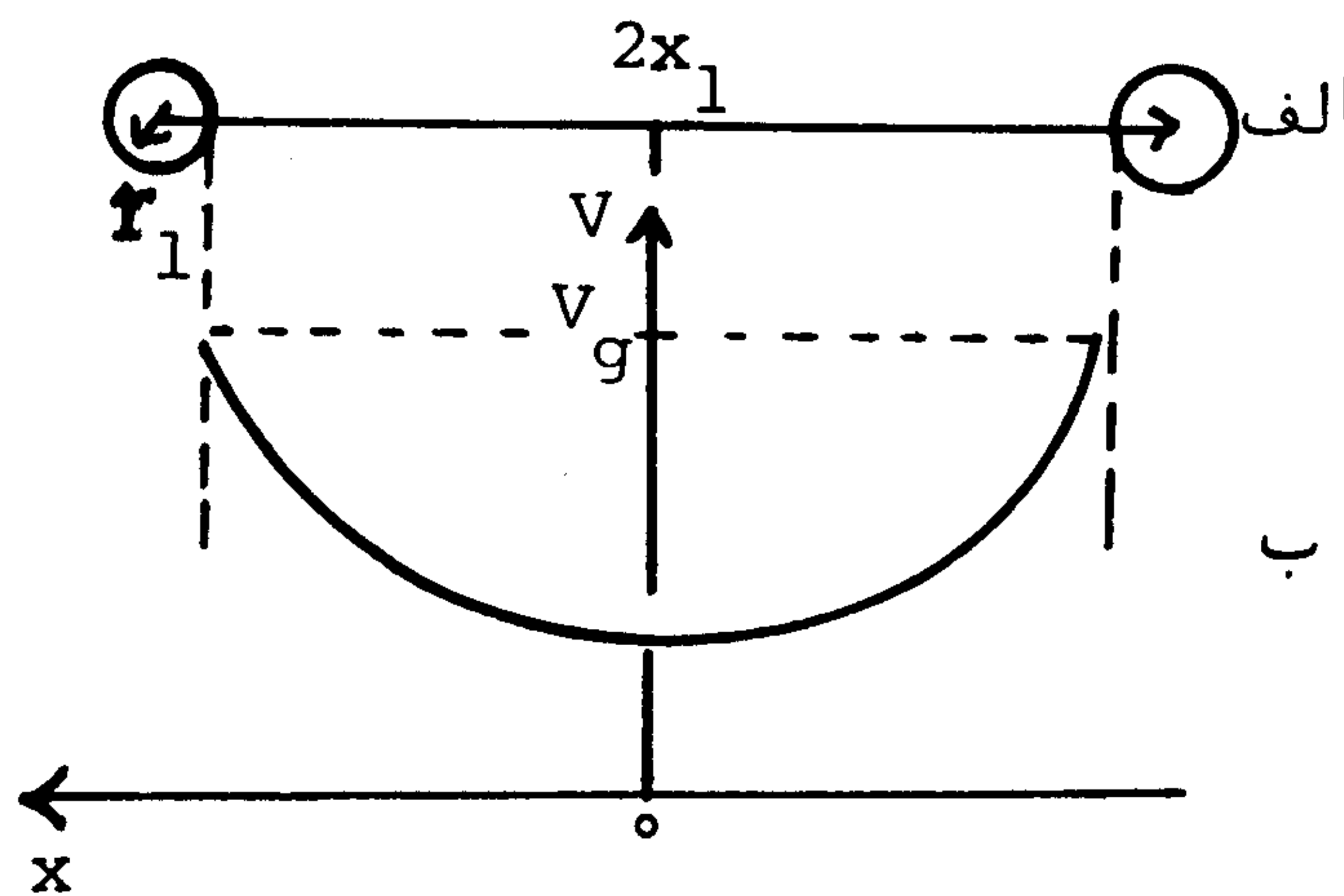
$$I_n = C V_g \exp \left( \frac{q V_g}{kT} \right) \quad (8)$$

در مورد جریان آند دو حالت زیر را جداگانه بررسی می‌کنیم:

حالت ۱ - پتانسیل شبکه خیلی منفی و در نتیجه جریان آند خیلی کوچک است. در این حالت بارو شی نظیر روش بالا می‌توان عبارتی برای جریان آند بدست آورد. معمولاً "طول رشته‌های شبکه نسبت به فاصله آنها از یکدیگرزیاد است، بطوریکه اگر توزیع بار القاء شده را در طول هر رشته از شبکه یکنواخت بدانیم، میدان مربوط به آن در نقاط مجاور بصورت  $\frac{1}{r}$  و پتانسیل الکتریکی مربوط بصورت  $\ln r$  تغییر می‌کند. اگر فاصله دور رشته، مجاور را به  $x_1^2$  و قطر سیم رشته را به  $2x_1$  نشان دهیم (شکل ۷-الف)، تغییرات پتانسیل حاصل از آنها در فاصله میان آنها بصورت:

$$V = V_g \left[ 2 + \left( \ln \frac{x_1^2}{x_1^2 - x_1^2} \right) / \left( \ln \frac{2x_1 - r_1}{r_1} \right) \right] \quad (9)$$

بیان می‌شود که در آن  $x$  فاصله از حد وسط دو رشته است. نمایش این رابطه در شکل ۷-ب آمده است. گرچه فرض یکنواخت بودن توزیع بار در طول رشته‌های شبکه دقیقاً درست نیست ولی بطور کیفی می‌توان گفت که تغییرات پتانسیل در فاصله هر دو رشته شکل منحنی یاد شده را دارد. چنانکه دیده می‌شود که این منحنی یک قسمت نزدیک به تخت دارد. این قسمت کانالی تشکیل می‌دهد که قسمت عمده الکترون‌هایی که به آن دارند می‌روند از آنجا می‌گذرند.



شکل (۷)

وبه دلیل نمائی بودن توزیع انرژی الکترون‌ها تعداد آنها که از نقاط بیرون کانال دارای پتانسیل بالاتر می‌گذرند بسیار کم است. با این توضیح اگر پتانسیل میانگین مناسبی بصورت  $fV_g$  برای این کانال تعریف کنیم ( $f < 1$ )، رابطه‌ای مشابه رابطه (۶) برای جریان آند بدست می‌آید با این تفاوت که در اینجا جمله‌ای نظیر  $I_n$  وجود ندارد:

(۱۰)

و اگر جریان تعادلی آند را به  $I_{a_0}$  نشان دهیم چنین خواهیم داشت:

(۱۱)

منحنی ب شکل ۴ برپایه دورابطه (۸) و (۱۱) رسم شده است. مقدار ضریب  $\frac{I_a - I_{ao}}{\Delta V_g}$  از قسمت منفی منحنی تجربی برابر با  $27/0$  بدست می‌آید. انطباق قسمت منفی منحنی ب با منحنی تجربی (الف) جالب توجه است. ولی قسمت مثبت آن انحراف می‌یابد زیرا شرایط قید شده در بالا در آن ناحیه وجود ندارد.

حالت ۲ - جریان آند نسبتاً بالا است. در اینحالت چنانکه می‌دانیم در لامپ‌های ترمومیونی

$$(I_a - I_{ao}) \text{ تقریباً متناسب با } \Delta V_g \text{ است، یعنی:} \quad (12)$$

چون آنرا با (۸) ترکیب کنیم خواهیم داشت:

(۱۳)

$$\text{و اگر } I_n \gg I_g \text{ باشد.} \quad (14)$$

منحنی ج شکل ۴ برپایه رابطه (۱۳) رسم شده است که قسمت مثبت آن بخوبی با منحنی تجربی توافق

دارد. بنابراین رابطه (۱۴) برای  $I_g$  های خیلی کوچک

(۱۵)

که نشان می‌دهد بهرهٔ تقویت جریان نسبت عکس با  $I_n$  دارد. برای کم کردن  $I_n$  باید دمای رشته را پائین‌تر آورد.

حساسیت:

بررسی‌ها چنانکه ارائه شد نشان داد که دست‌یابی به بهرهٔ جریان در حدود  $10^9$  در الکترومتر ترمومیونی بحال شبکه شناور عملی است. برای مرحلهٔ دوم تقویت در دستگاه ساخته شده از یک تقویت‌کنندهٔ عملیاتی با مدار یکپارچه و مقاومت فیدبک  $25\Omega$  استفاده شده است. بدین ترتیب بهرهٔ کلی دستگاه تا حدود  $10^{-18} A / mV$  می‌رسد. بالاتر بردن بهرهٔ مرحله دوم بیهوده است زیرا آنچه که حد حساسیت دستگاه را تعیین می‌کند درجه پایدار ماندن جریان لامپ است. در نمونه ساخته شده خطای میانگین در پتانسیل خروجی در حدود  $mV 18$  بدست آمد که مربوط به  $10^{-17} \times 10^{-18} A$  می‌در جریان ورودی است. این حد حساسیت دستگاه است و شاید جلوتر بردن آن با استفاده از لامپ‌های بهتر ممکن باشد.

#### ۴- کاربرد و نتیجه‌گیری:

دستگاه ساخته شده برای بررسی یونیزاسیون هوا حاصل از رادیواکتیویته محیط و پرتوهای کیهانی بکار برده شد. میانگین جریان حاصل از این یونیزاسیون را در سطح زمین در حدود  $A 10^{-16} / 6 \times 10^7$  بر هولیترهوا ذکر کرد. اندودر گذشته برای سنجش آن از اطاقک‌های با حجم زیاد یا فشار بالا استفاده شده است (۷). دستگاه فعلی با اطاقک یکلیتری در فشار متعارف حساسیت کافی برای چنین سنجش را دارد.

دستگاه در زیرزمینی که کف آن در حدود ۶ متر پائین از کف زمین بود بکار برده شد، که کاهش در میزان یونیزاسیون طبیعی بخوبی قابل مشاهده بود.

لازم به توضیح است که هدف بررسی کارائی روش بوده است و آزمایش‌های انجام شده برای تعیین حدود حساسیت دستگاه صوت‌گرفته است و گرنه برای بدست آوردن میزان درست یونیزاسیون لازم است که دیواره اطاقک یونیزاسیون از مواد مناسب و مخصوصی ساخته شده باشد.

جواب‌دهی دستگاه به نگام ورود ذرات باردار پرانرژی کیهانی بسیار قوی است، بویژه اگر با بهرهٔ بالا بکار اندخته شود. بنابراین نه تنها می‌توان از چنین وسیله برای سنجش انرژی آن ذرات استفاده کرد بلکه

از این طریق بدست آوردن اطلاعات دیگر مثلاً "دربارهٔ مقطع موئثر و اکنش‌های مربوط به آنها یا سوی حرکت آنها نیز امکان دارد.

به عنوان یادآوری برخی دیگر از کاربردهای وسیلهٔ بسیار حساس سنجش جریان می‌توان به بررسی‌های مربوط به مقاومت ویژهٔ عایق‌ها و تغییرات آنها در اثر عوامل گوناگون اشاره کرد. در مطالعه بینابی اثر فوتوالکتریک نیز نیاز به چنین وسیله‌ای است.

### شرح شکل‌ها

شکل (۱) – شمای دستگاه . ۱ – اطاک یونیزاپیون . ۲ – لامپ الکترومتر . ۳ – الکترود مرکزی ۴ – حلقهٔ محافظ . ۵ و ۶ و ۷ – عایق پلی‌اتیلن . ۸ – دگمه برای تماس سوزن ۹ بالکترود ۳ . ۹ – سوزن تماس . ۱۰ – بدنهٔ فلزی اطاک . ۱۱ – حفاظ الکتروستاتیکی . ۱۲ – مجرای سیم‌های ارتباط . ۱۳ – قسمت مدارهای تغذیه و تقویت مرحله دوم و بخش . ۱۴ – حفاظ الکتروستاتیکی مجموعه.

شکل (۲) – منحنی مشخصه الکترومتر مربوط به حالت شبکه شناور

شکل (۳) – تغییرات بهرهٔ جریان و جریان منفی شبکه بر حسب پتانسیل دو سررشه لامپ

شکل (۴) – تغییرات جریان آندبرحسب جریان خارجی شبکه

شکل (۵) – جزء حجم در فضای اندازه حرکت‌ها

شکل (۶) – منحنی تجربی تغییرات  $\frac{I}{V_g} \ln(\frac{V_g}{V})$  بر حسب  $V_g$

شکل (۷) شمای تغییرات پتانسیل الکتریکی در فاصله میان دو رشته متواالی شبکه.

References

- 1) SNELL, A.H., Nuclear Instruments and their uses. John Wiley & Sons, 1962.  
P 208.
- 2) International Atomic Energy Agency, Electrometers, TI-52, 1976. (microfish)
- 3) KIFFER, H., MAUSHA, R., Radiation Protection Measurements, Pergamon Press,  
1972, PP. 14-15.
- 4) PRICE, W.J., Nuclear Radiation Detection, Mc Graw-Hill, 1964, PP. 83-86,  
95-96.
- 5) BANNER, E.H.W., Electronics Measuring Instruments, Chapman & Hall, 1958, pp.  
223-334.
- 6) SHONKA, F.R., New Electrometer of High Sensitirity, Rev. of Scientific  
Instrs. 1964, 35, 1046,
- 7) ATTIX, F.H., TOCHILAN, E., Radiation Dosimetry, Academic Press, 1969, P 426.